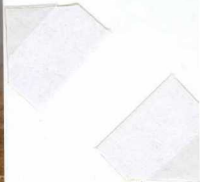




23-43-AD-BA-251.- Aspecto del Plioceno litoral T_2^B s, de conglomerados y arenas, con gran cantidad de fósiles, de la Serrata de Nijar.



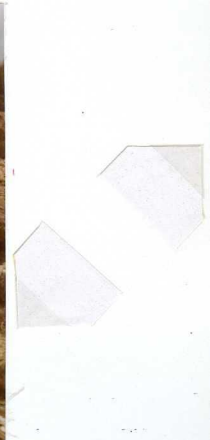
23-43-AD-BA-252.- El Plioceno litoral de la Serrata T_2^B s buzan-
do hacia el Sur, cerca del Barranquete.



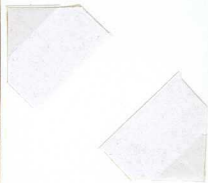
23-43-AD-BA-253. - Contacto entre la formación yesífera (color claro, derecha) ($T_{12}^{Bc}Y$) y el Plioceno margo-arenoso T_2^B .



23-43-AD-BA-254.- Pliegues de "slumping" y fanglomerados en la facies regresiva del Mioceno superior-Andaluciense T_{12}^{Bc} .



23-43-AD-BA-255.- Alternancia de margas, arenas, calizas, etc, en el Andaluciense del centro de la cuenca T_{12}^{Bc} . Encima glacis o depósitos de rambla aterrazados QR₁.



23-43-AD-BA-256.- Aspecto de los yesos masivos del Mioceno su
perior (T₁₂^{Bc} Y).

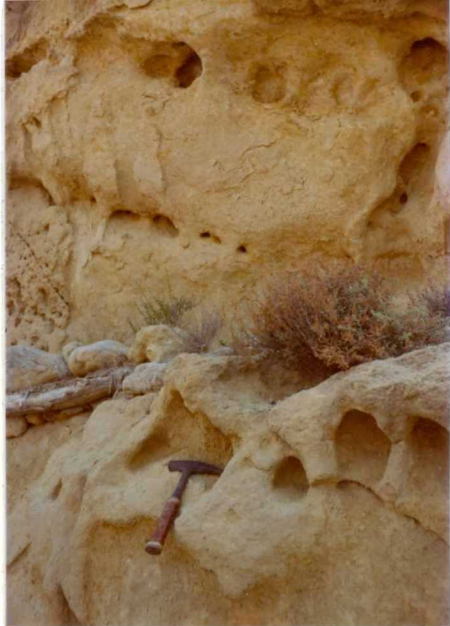


23-43-AD-BA-257. - Plioceno margoso T_2^B . Encima terraza marina cuaternaria QT₁₁₋₁₂? y depósitos continentales pleistocenos Q₁. En primer término instalación de un sondeo para aguas subterráneas.



23-43-AD-BA-258.-

Aspecto de las mar-
gas arenosas del -
Plioceno T_2^B s "Margas
con lepra".



23-43-AD-BA-259.-

Contacto discordante
Mioceno superior T_{11}^{Bc} -
Plioceno T_2^B s. Obsérve
se la removilización
de trozos del Mioceno
dentro del Plioceno.

La resedimentación de
fauna puede dar lugar
a considerar la serie
continua, pero está -
claro que no es así.

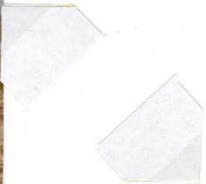




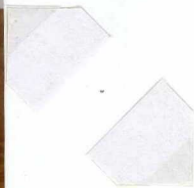
23-43-AD-BA-260. - Mioceno margoso T_{11}^{BC} . Encima pleistoceno continental Q_1 . Al fondo las dolomías T_{A2-3}^a del Alpujárride de Sierra Alhamilla.



23-43-AD-BA-261. - Filitas alpujárrides (P-T_{A1}^a) cubiertas por el glacis pleistoceno al pie de Sierra Alhamilla. En primer término Mioceno superior discordante sobre las mismas filitas (T₁₁^{Bc}).



23-43-AD-BA-262. - Contacto discordante entre margas del Mioceno superior (colores blanquecinos) (Y_{11}^{Bc}) y arenas y margas arenosas del Plioceno T_2^B s (colores amarillentos). Cubriendo todo, en la parte alta, depósitos continentales del Pleistoceno (Q_1).



23-43-AD-BA-263. - La serie terciaria de la zona de la Cantera, en las cercanías de Níjar. Abajo, Mioceno superior ($T_{11}^{Bc}s$). Encima arenas pliocenas ($T_2^B s$) y calizas lacustres ($T_2^B La$).

23-43-AD-BA-264. - Contacto entre el Plioceno margoso (T_2^B), y un episodio marino cuaternario QT₁₁₋₁₂? (en color gris oscuro).





23-43-AD-BA-265. - Aspecto de una terraza marina cuaternaria
QT₁₁₋₁₂??. Encima Pleistoceno continental y costra calcárea
(Q₁ y Q₁^K).



23-43-AD-BA-266. - Panorámica en la que se observa una falla afectando a terrenos pliocenos y cuaternarios. A la derecha Margas del Plioceno T_2^B , y encima terraza marina cuaternaria $QT_{11-12}?$, a la izquierda terraza marina y encima Pleistoceno continental (Q_1) y costra (Q_1^K).



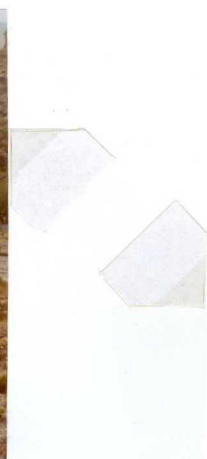
23-43-AD-BA-267.- Cauce mayor en la formación deltaica del Pleistoceno [T_2^B DL(cg)] , discordante sobre depósitos arenosos de la transgresión marina pliocena (T_2^B s).



23-43-AD-BA-268..- Al fondo, margas del Tortoniense (T_{11}^{Bc}) cubiertas por el Pleistoceno continental (Q_1). En primer término depósitos de Rambla aterrazados (QR_2).



23-43-AD-BA-269.- Margas del Tortoniano, con intercalaciones
arenosas turbidíticas T_{11}^{BC} .



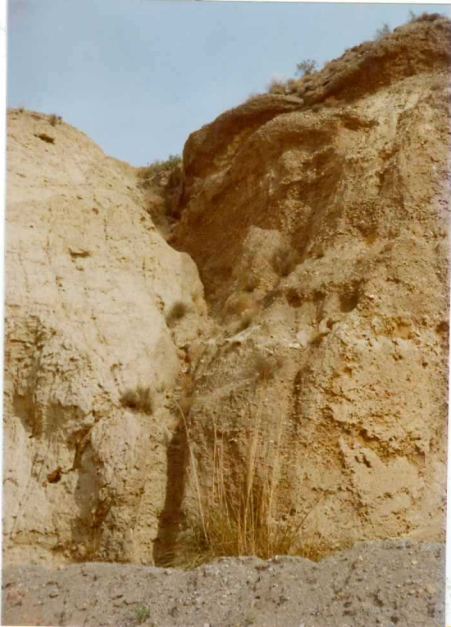
23-43-AD-BA-270.- Falla entre las margas tortonienses (T_{11}^{BC}) y las filitas alpujárrides ($P-T_{A1}^a$) de la Sierra Alhamilla. Al fondo dolomías alpujárrides (T_{A2-3}^a). La falla es de dirección aproximada E-W.



23-43-AD-BA-271.- Filitas ($P-T_{A1}^a$) y dolomías (T_{A2-3}^a) alpujárrides en la ruta de los Baños de Sierra Alhamilla.

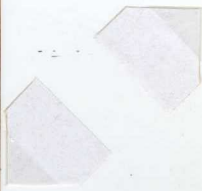
23-43-AD-BA-272.-

Falla entre margas
del Andaluciense -
(T_{12}^{Bc}) -a la izquier-
da- y arenas y li-
mos arenosos de la
formación deltaica
pliocena (T_2^B DL).





23-43-AD-BA-274. - Falla afectando a materiales cuaternarios. A la derecha, arenas deltaicas pliocenas (T_2^B DL(s)) cubiertas por el pleistoceno continental (Q_1). Al otro lado de la falla Pleistoceno continental (Q_1).



23-43-AD-BA-275.- La Formación deltaica pliocena (T_2^B DL(s)). Observe los paleocauces de los lechos mayores.



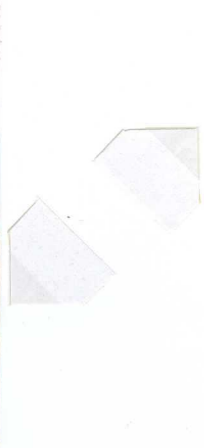
23-43-AD-BA-276.- Formación continental del Plioceno (T_2^B a).



23-43-AD-BA-277. - El Pleistoceno continental (Q_1). Obsérvese la heterogeneidad de los cantes, y su escaso redondeamiento en comparación con el de las terrazas marinas o de la formación deltaica.



23-43-AD-BA-278.- En primer término margas del Tortoniense (blancas) T_{11}^{Bc} s. Separados por una falla, limos y margas del Plioceno, probablemente deltaico (T_2^B DL). Al fondo las dolomías alpujárrides de Sierra de Gádor.



23-43-AD-BA-279.- Sección de Torre Cárdenas. Abajo y con colores más claros el Mioceno superior (T_{11}^{Bc} s y T_{12}^{Bc} c). Encima (colores más amarillentos), arenas y calizas arenosas del Plioceno marino (T_2^B s). Más arriba (en rojizo) el Pleistoceno continental (Q_1). Coronando todo, la costra calcárea (Q_1 K).



23-43-AD-BA-280.- Dolomías alpujárrides de Sierra de Gádor -
(T_{A22}) recubiertas por calcarenitas del Mioceno superior (T_1^{Bc}).
Cantera en la calcarenita.



23-43-AD-BA-281.- Falla fini-Miocena. A la derecha dolomías y calcoesquistos alpujárrides (T_{A21-22}^{BC}). A la izquierda calcarenitas del Mioceno superior (T_1^{BC}).

21045



23-43-AD-BA-282. - Detalle de las calcarenitas rosadas del Mio-
ceno superior (T_1^{BC}).

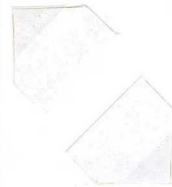


23-43-AD-BA-283..- Calcoesquistas alpujárrides en Sierra de Gá-
dor (T_{A21-22}).



23-43-AD-BA-284.- Dolomías brechoides del alpujárride de Sierra de Gádor (T₂₂^A).

1045



23-43-AD-VM-214.- Calizas-dolomías (T_{A2-3}^a) y filitas ($P-T_{A1}^a$) alpujárrides cabalgando sobre el Nevado-Filábride, en la Sierra Alhamilla (Los Baños-Mina Felisa).

SO

NE



23-43-AD-VM-215..- Margas tortonienses del vértice Alfaro
(T_{11}^{Bc}) encima de filitas alpujárrides ($P-T_{A1}^a$).